

DOI: 10.13718/j.cnki.xdzk.2022.02.015

# 新疆红色旅游资源空间分布及影响因素分析

张宇丹, 李傥, 关苏杭, 陈燕

新疆大学 旅游学院, 新疆 乌鲁木齐 830046

**摘要:** 旅游资源空间分布的研究可以为地区旅游资源的优化升级提供实践的价值依据。文章运用 ArcGIS 空间分析核密度估计法、最邻近指数、局部自相关方法、SPSS 相关性分析了新疆 62 处红色旅游资源空间分布特征及影响因素。研究结果显示: 新疆红色旅游资源空间结构在整体上呈现出“小集聚, 大分散”的形态, 具有明显的“三核三带”的特征, 在空间上呈点状集聚分布特征, 呈现出“东北—西南”的冷热点区分布格局。该格局的形成主要受历史文化活动、交通条件、社会因素和经济发展水平的影响。未来, 在文旅融合发展的浪潮下, 应进一步推动新疆旅游高质量、快速度发展, 积极践行“旅游兴疆”, 兵地联手发挥红色旅游资源优势, 进而推动新疆全域旅游发展。

**关键词:** 红色旅游资源; 红色旅游; 空间分布; 影响因素; 新疆

**中图分类号:** F592.3; P942

**文献标志码:** A

**文章编号:** 1673-9868(2022)02-0128-09

开放科学(资源服务)标识码(OSID):



## Spatial Distribution Characteristics and Influencing Factors of Red Tourism Resources in Xinjiang

ZHANG Yudan, LI Cai, GUAN Suhang, CHEN Yan

*The Tourism College of Xinjiang University, Urumqi 830046, China*

**Abstract:** The spatial distribution of tourism resources is an important issue in tourism research. This study applied kernel density estimation, nearest neighbor index, local autocorrelation and SPSS correlation to analyze the spatial distribution characteristics and influencing factors of 62 red tourism resources in Xinjiang. The results showed that the spatial structure of red tourism in Xinjiang presented the form of “small agglomeration, large dispersion”, with the obvious characteristics of “three cores and three belts”. The spatial distribution of red tourism showed the northeast-southwest of cold and hot spot differentiation Bouguer. The main influencing factors are historical and cultural activities, traffic conditions, social factors and level of economic development. In the future, under the wave of cultural and tourism integration development, in order to achieve high-quality and rapid development of Xinjiang tourism, we need to promote the development of Xinjiang’s tourism based on the factors such as resource endowment, give play to the advantages of red tourism, and combine with other tourism resources.

**Key words:** red tourism resources; red tourism; spatial distribution; influence factor; Xinjiang

收稿日期: 2020-10-09

基金项目: 新疆维吾尔自治区社会科学基金项目(2016BGL105).

作者简介: 张宇丹, 硕士研究生, 主要从事旅游地理研究.

随着人们休闲时间的增加和对文化内涵的重视,旅游行为由观光旅游为主转向追求旅游和文化的双重属性并重,是中国旅游业转型的重要方向之一<sup>[1]</sup>。红色旅游就是其中的典型代表,是红色基因与旅游形式的有机结合,实现了新时代背景下对红色文化的传承创新。2016年以来,国务院及中央各部委出台了多项关于促进红色旅游发展的政策文件,如《2016—2020年全国红色旅游发展规划纲要》《关于实施中华优秀传统文化传承发展工程的意见》《新疆红色旅游发展规划背景资料汇编》等文件中明确提出支持红色旅游资源的挖掘,积极发展红色旅游产品,培育红色旅游消费市场。当前,我国的红色旅游发展迅速,但仍然存在文化内涵不突出、过度开发的问题。现阶段我国红色旅游的目标是要基本形成中华优秀传统文化传承发展,在教育普及保护传承、传播交流等方面协同推进,建设有中国特色、中国风格的红色文化产品。我国红色旅游人数与收入逐年增高,2017年,我国红色旅游收入4719.2亿元,已经进入到了新的发展纪元<sup>[2]</sup>。

旅游资源可分为未开发的旅游资源和已开发保护的旅游资源。经过开发利用的资源并辅以一定的服务设施和基础设施就构成了可供游览参观的旅游景区。旅游资源是旅游景区的“素材”,是景区产品的核心内容和形成吸引力的核心要素。红色旅游资源作为红色旅游的重要载体,是红色旅游得以持续发展的重要依托。结合文献资料以及新疆实际情况,本文研究的红色旅游资源的定义是以中国从1840年至改革开放时期形成的历史文化遗存和历史文物包括与其相关的旧址、建筑、事件和爱国主义教育基地。国外学者对红色旅游的相关研究多结合市场营销学、心理学、教育学等多种学科,在红色旅游的定义和概念、空间影响和行为等方面展开研究<sup>[3-5]</sup>。国内学者研究红色旅游资源多结合利用利益相关者理论、旅游体验理论、需求层次理论<sup>[6-10]</sup>,对红色旅游资源空间分布格局的研究相对较少。在研究区域上,主要集中在全国范围<sup>[11]</sup>、省级<sup>[1,12-15]</sup>、市级<sup>[16-17]</sup>3个维度,其中省级主要集中在湖南、江西、安徽等老牌红色旅游地区,市级集中在洛阳、六安等经典历史事件发生地;在研究方法上,主要集中在最邻近指数、网维格数、空间自相关分析;在研究广度上,关注点在于红色旅游资源空间布局的演变。新疆共有4个景区入选红色旅游发展典型案例,是入选景区最多的省份,有典型红色旅游目的地的美誉,其资源内涵是爱国爱疆和屯垦戍边为核心的红色文化,资源禀赋高,目前国内关于这一区域的研究较少,具有很高的研究价值。

基于此,本文以新疆为案例地,探讨新疆红色旅游资源的空间分布特征,分别针对已开发的旅游资源和未开发的旅游资源的发展提出相应的意见和建议。本文区别于其他文献之处在于:(1)选取新疆62处红色旅游资源点作为研究对象,对其空间分布特征进行分析。(2)基于推拉理论构建影响指标,利用双变量相关性分析重新解释了新疆红色旅游资源空间布局的内在动力。(3)借鉴增长极理论讨论了红色旅游资源发展的未来展望,找到推动其发展的着力点。

## 1 数据来源及研究方法

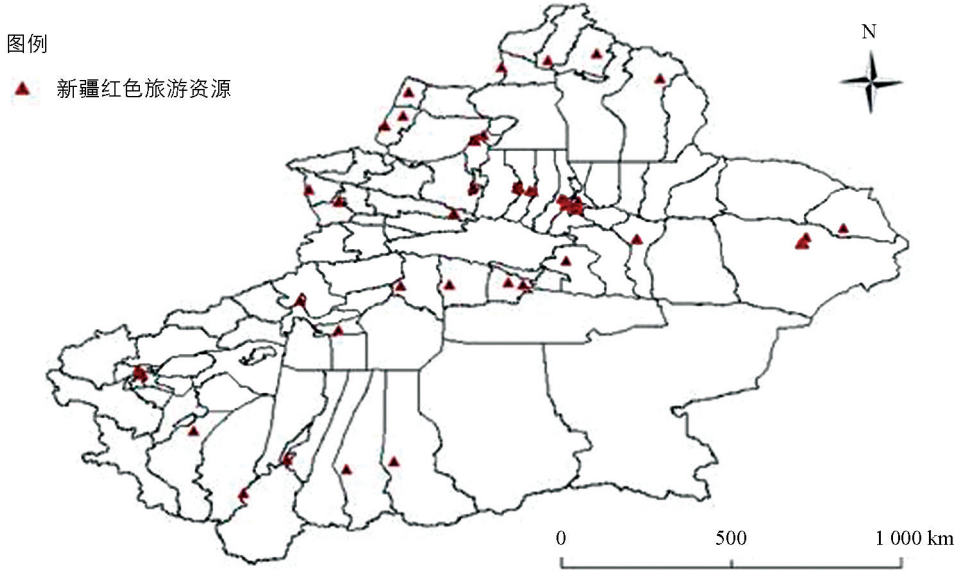
### 1.1 研究区概况

新疆维吾尔自治区拥有众多人文旅游资源,由于其独特的地理位置和文化内涵,有着丰富且垄断性的红色旅游资源,具有较高的资源禀赋:全国最独特的新疆兵团文化——石河子市新疆生产建设兵团军垦博物馆,新疆石油第一井——克拉玛依一号井。目前,新疆入选全国红色旅游经典景区共有7处,分别是新疆生产建设兵团军垦博物馆、农八师周恩来总理纪念馆、农一师阿拉尔市三五九旅纪念馆、石河子市红色旅游系列景区、第一师阿拉尔市三五九旅屯垦纪念馆、新疆兵团系列景区、新疆生产建设兵团第六师五家渠市军垦博物馆。新疆《旅游业发展第十三个五年规划》中指出,围绕红色旅游资源,打造红色旅游主题线路,激发和培养“爱祖国、爱新疆、维护民族团结”的美好情感,凝聚社会正能量。将石河子市打造成为“中国红色旅游军垦文化体验地”,推动景城一体化,打造军垦文化旅游城市观光轴,新疆发展红色旅游的势头强劲。因此,选取新疆研究红色旅游资源空间格局具有典型性。考虑到研究数据的可获取性,以新疆14个地州的覆盖范围作为本文的研究区域,其中研究区面积为166 km<sup>3</sup>,共包含红色旅游资源62处,其中包含未开发的旅游资源有15处,例如乌鲁木齐五星路四合院、民丰县毛主席语录塔等;经过开发成为旅游景区的旅游资源共有47处,例如自治区博物馆、库车县林基路烈士陵园等。

### 1.2 数据来源

本文涉及到的数据包括新疆矢量地图、新疆红色旅游资源、经济数据。其中新疆矢量地图来自新疆维

吾尔自治区地理信息公共服务平台 (<http://xinjiang.tianditu.gov.cn>)2020 年发布的 1 : 550 000 0 地形图, 并对其进行矢量化处理. 新疆红色旅游资源是根据官方发布的《新疆红色旅游发展规划背景资料汇编》《新疆红色旅游发展规划修改稿(2006—2010)》《新疆维吾尔自治区旅游业发展第十三个五年规划》《爱国主义教育实施纲要》《2016—2020 年全国红色旅游发展规划纲要》所列出的红色旅游资源, 并通过百度地图的坐标拾取器逐一确定每一个红色旅游资源的地理位置, 导入到 ArcGIS 10.3 中创建点要素(图 1). 经济数据和人口数据来自《2019 年新疆统计年鉴》, 公路数据来自《2014 年中国区域经济统计年鉴》.



审图号: GS(2016)2556 号

图 1 新疆红色旅游资源分布

### 1.3 研究框架

针对本文的研究问题, 首先采用核密度分析、最邻近指数、局部自相关等空间分析方法对新疆红色旅游资源点的空间密度分析、空间类型分析、空间关联特征进行分析. 其次, 在相关文献研究基础上, 根据推拉理论, 结合新疆的实际情况, 确定历史文化活动、交通运输条件、经济条件、社会因素为解释变量, 以新疆红色旅游资源数量为因变量, 通过叠加分析、相关性分析, 最终得到新疆红色旅游资源空间分布特征分析研究框架图(图 2).

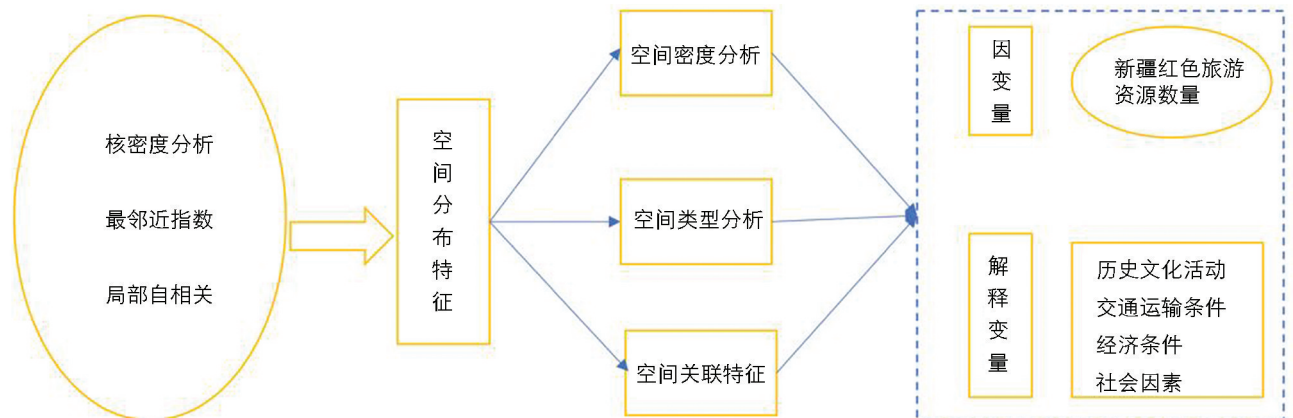


图 2 研究框架

### 1.4 研究方法

#### 1.4.1 核密度估计法

核密度估计法是由 Rosenblatt 和 Parzen 提出的非参数估计法<sup>[18]</sup>, 通过对新疆各个红色旅游资源点建立一个平滑的圆形表面, 再通过数学公式得到每个资源点到其参考位置的距离, 最后对参考位置的所有表

面值求和, 建立这些景点以及景区的峰值或核来创建平滑的连续表面. 其公式为:

$$y = \frac{1}{nH} \sum_{i=1}^n k\left(\frac{x-X_i}{H}\right)$$

式中,  $y$  表示核密度值;  $k\left(\frac{x-X_i}{H}\right)$  是核函数;  $H$  是带宽,  $H>0$ ;  $n$  为新疆红色旅游资源数量.  $y$  值越高,

表示红色旅游资源分布越密集.  $y$  与红色资源数量  $n$ 、核函数  $k\left(\frac{x-X_i}{H}\right)$  以及  $H$  的值有关. 本文选取高斯

函数测算红色旅游资源的密度分布, 根据 MISE 和高斯函数确定最优带宽  $H$ , 高斯函数  $K$  的表达式为<sup>[19]</sup>:

$$K(x) = \frac{1}{\sqrt{2\pi}} \exp\left(-\frac{x^2}{2}\right)$$

#### 1.4.2 最邻近指数法

最邻近指数法可以表示新疆红色旅游资源点空间分布的邻近程度, 判断要素的空间分布类型, 我们通过肉眼可能会受到误差的影响, 不容易判别<sup>[20]</sup>. 其计算公式如下:

$$H \frac{\overline{h_1}}{h_e} = 2\sqrt{p} * \overline{h_1}$$

$$\overline{H_E} = \frac{1}{2}\sqrt{p} = \frac{1}{2}\sqrt{\frac{i}{M}}$$

其中,  $H$  为新疆红色旅游资源的最邻近点指数,  $h_1$  为最邻近点间直线距离,  $\overline{h_1}$  为  $h_1$  的平均值,  $h_e$  为理论最邻近距离,  $p$  表示的是点密度,  $M$  表示区域面积,  $i$  表示点数. 当  $\overline{h_1} = \overline{h_E}$  时,  $R=1$ , 说明点要素(即新疆红色旅游资源)的分布类型为随机型; 当  $\overline{h_1} > \overline{h_E}$  时,  $R > 1$ , 点要素呈现均匀分布; 当  $\overline{h_1} < \overline{h_E}$  时,  $R < 1$ , 点要素呈现凝聚分布.

#### 1.4.3 局部自相关

空间的冷热点区通过 Getis-Ord  $G_i^*$  来表示<sup>[21]</sup>. Getis-Ord  $G_i^*$  表示的是局部空间自相关的特征, 其公式为:

$$F(G_i^*) = G_i^* - \frac{R(G_i^*)}{\sqrt{\text{Var}(G_i^*)}}$$

其中,  $R(G_i^*)$  表示的是  $G_i^*$  的数学期望值,  $\text{Var}(G_i^*)$  表示的是  $G_i^*$  的变异函数, 当  $F(G_i^*) > 0$  时, 且  $p < 0.05$  时, 表示该区域为热点区, 所包含的红色旅游资源越多, 空间上的表现形式是高值空间集聚. 当  $F(G_i^*) < 0$  时, 且  $p < 0.05$  时, 表示该区域为冷点区, 所包含的红色旅游资源越少, 空间上的表现形式是低值空间集聚.

#### 1.4.4 双变量相关性分析

双变量相关性分析用于描述各个指标与新疆红色旅游资源点数量联系的紧密程度. 反映了控制指标的取值后, 资源点数量变化的变异程度, 通常用积差相关系数来表征其相关程度. 本文以 Pearson 相关系数来表征, Pearson 的值越大, 代表两个变量的联系程度越密切, 具体计算公式如下:

$$\text{Pearson} = \frac{V}{\sqrt{s * s_1}}$$

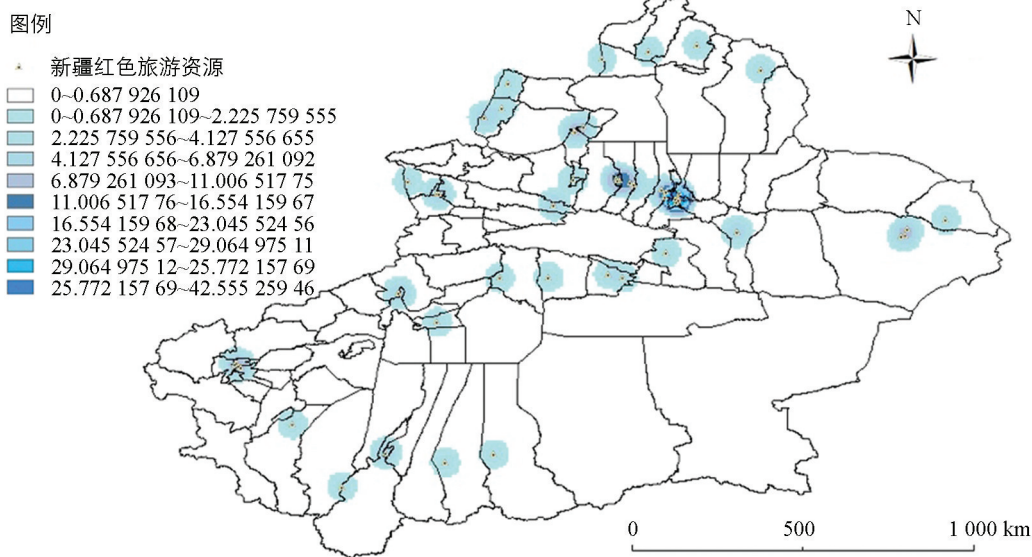
其中,  $v$  是某指标与资源点数量之间的协方差,  $s$  是某指标的方差,  $s_1$  是资源点数量的方差<sup>[22]</sup>.

## 2 新疆红色旅游资源空间分布特征

### 2.1 空间密度分析

利用 ArcGIS 10.3 的空间分析工具对新疆红色旅游资源的空间分布进行核密度分析, 并将结果采用自然间断法划分为不同的区域, 分析结果如图 3 所示. 测算结果显示, 新疆红色旅游资源富集于乌鲁木齐、石河子、哈密红色旅游集聚区, 以及塔城—阿勒泰、伊犁—巴音郭楞、喀什—和田红色旅游带, 将新疆红色旅游资源有机联系起来, 构成了新疆明显的“三核三带”红色旅游空间结构. 这些区域红色旅游资源密度较

高, 占到了全疆红色旅游资源总数的 60% 以上. 乌鲁木齐红色旅游集聚区是红色旅游的起源, 乌鲁木齐是新疆重要的旅游集散地, 也是其他地区与新疆经济、文化沟通的重要区域, 著名资源点包括乌鲁木齐烈士陵园、八路军驻新疆办事处纪念馆等; 石河子旅游集聚区是红色旅游资源的演化, 该区是新疆红色旅游发展演化历程的体验, 每一处资源点都保留着岁月留下的个性, 包括艾青诗歌馆、新疆兵团军垦博物馆等; 哈密旅游集聚区是红色旅游资源的扩散, 该区的红色旅游资源首推以重要历史人物为背景的资源点, 以红军西路军进疆纪念馆、哈密回王府回王坟最为典型. 新疆红色旅游资源的总体空间分布呈现出“小集聚, 大分散”的形态. 小集聚主要体现在重要城市红色旅游资源地分布的首位性, 与经济发展条件首位分布类似, 红色旅游资源地分布与经济发展条件分布存在着相同的情况.



审图号: GS(2016)2556 号

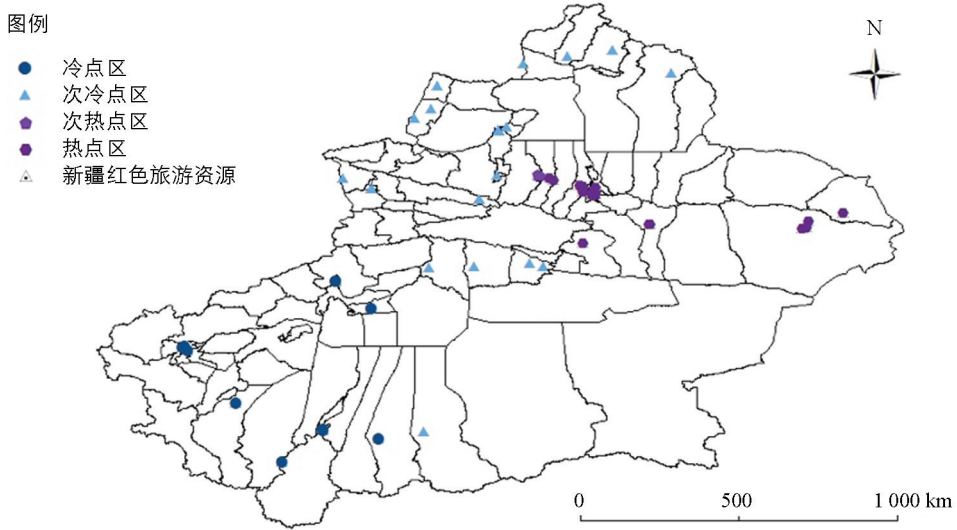
图 3 新疆红色旅游资源核密度分析

## 2.2 空间类型分析

利用 ArcGIS 10.3 计算得出新疆红色旅游景区的预期平均距离  $\overline{h_E} = 0.795\ 096$ , 最邻近点指数  $H = 0.481\ 685$ , 最邻近点间平均直线距离  $\overline{h_1} = 0.382\ 986$ , 通过数据可以分析得知, 新疆红色旅游景区的理论最邻近距离大于实际最邻近距离, 其平均空间分布是凝聚型, 表现出空间凝聚状态, 其内生机理在于红色旅游资源作为红色旅游的微小单元, 既有一定的资源依赖性, 又有一定的空间依赖性. 即红色旅游资源的分布依赖于当地的历史文化资源条件, 也有一定自然条件的限制. 红色旅游资源的凝聚分布, 一方面可以有效利用红色旅游资源, 另一方面也可以达到一定的规模, 实现效益最大化, 而以个体形式存在的红色旅游资源缺少这样的优势条件.

## 2.3 局部关联性分析

运用 ArcGIS 10.3 得到局部关联指数 Getis-Ord  $G_i^*$  的值来分析新疆红色旅游景区冷热区的情况(图 4). 结果显示, 新疆红色旅游资源局部区域的关联模式呈现出明显的地理分异特征. 新疆红色旅游景区的冷、热点区分布的总体特征呈现出冷点区、次冷点区、次热点区、热点区自西向东的分布格局, 昌吉、石河子、乌鲁木齐、哈密为热点区, 区域空间联动效应突出, 形成了乌鲁木齐—昌吉、石河子—克拉玛依为中心的连片高值簇, 局部高值扩散效应显著, 对新疆红色旅游的发展起着重要作用, 其红色旅游资源的数量占到了全疆的 40.5%. 阿勒泰、塔城地区为次热点区, 其数量为全疆的 25.4%, 阿克苏为次冷点区, 其占比为 8.3%, 和田、喀什为冷点区, 其占比为 25.8%. 红色旅游热点区主要分布在新疆的东北地区, 冷点区主要分布在新疆的西南地区, 呈现出“东北—西南”的分布格局. 中部地区为冷点向热点区的过渡地带, 随着基础设施的建设加强以及热点区的辐射效应带动, 未来这一区域可能会成为红色旅游热点区域.



审图号: GS(2016)2556 号

图 4 新疆红色旅游资源冷热点分析

### 3 空间分布特征影响因素分析

新疆红色旅游资源空间分布的形成过程比较复杂,是历史、社会、地形、地貌等推力因素以及经济、交通、环境等拉力因素共同作用的结果<sup>[23-27]</sup>。借鉴前人研究成果,考虑到新疆红色旅游资源的空间特征,指标代表性和易获取性,根据推拉理论构建影响指标,推力因素为历史文化活动、社会因素,拉力因素为交通条件和经济条件。本文尝试从主导、驱动、调节、诱发 4 个维度,分析其影响因素及新疆红色旅游资源空间分布的形成机理。4 个维度相互联结,又共同作用于新疆红色旅游资源的空间分布(图 5)。

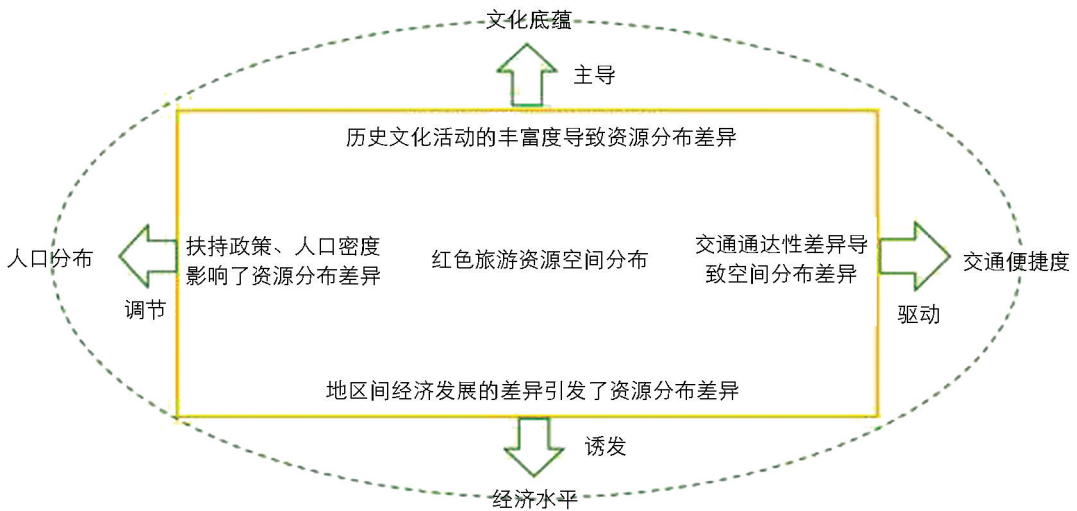
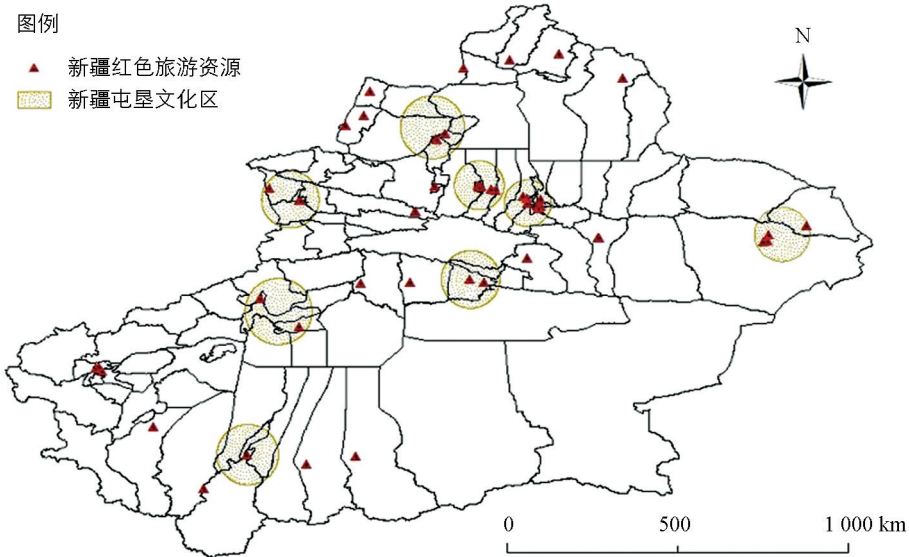


图 5 新疆红色旅游资源空间分布形成机理示意图

#### 3.1 主导因素

丰富的历史文化活动是红色旅游资源集聚的温床,石河子地区八路军、解放军屯垦戍边的英雄事迹及其所留下的宝贵精神财富,被尽可能完整的保留了下来,形成了既丰富又独特的红色旅游资源文化,供后人参观和学习。根据中心地理论,历史文化活动丰富的中心区域对其周边地区红色旅游资源的发展有很好的辐射带动作用,但随着距离的增加其带动作用不断减弱。利用 ArcGIS 10.3 将资源点与重大历史事件和革命根据地叠加,得到新疆红色旅游资源和历史事件与根据地耦合图(图 6),新疆兵团屯垦戍边历史文化区主要分布在哈密、吐鲁番、奇台、乌鲁木齐、昌吉、玛纳斯、伊犁、塔城、焉耆、阿克苏、喀什、和田等地,结果与核密度分析的高值集聚区一致。



审图号: GS(2016)2556 号

图 6 新疆红色旅游资源与历史事件耦合图

### 3.2 驱动因素

红色旅游资源空间分布呈现较强的交通建设的依赖,新疆一直以乌鲁木齐作为整个省份的交通集散地,交通十分便利,在其辐射范围内的红色旅游资源分布密集程度较高.基于新疆的实际情况,本文采用公路网络密度作为分析指标,利用 SPSS 26.0 将红色旅游资源点数量与公路网络密度进行相关性分析,结果表明, Pearson 指数为 0.645,  $p=0.05$ . 交通条件与红色旅游资源点数量之间呈现正相关关系,表明交通条件是各地州红色旅游资源数量产生差异的因素之一,沿线区域红色旅游资源数量多,覆盖面积广.公路沿线区域表现为“放射扩散式”发展态势,形成了高等级空间结构模式.

### 3.3 调节因素

社会因素是红色旅游资源集聚发展的驱动力,政策供给导向是新疆红色旅游资源发展的内生动力,国家和政府通过出台一系列有利于红色旅游发展的优惠政策,创造了红色旅游发展的条件,为新疆红色旅游的发展形成了有利的宏观环境.常驻人口决定了旅游市场的主要客源规模,也反映了该地区的文化底蕴的深厚,本文选取各地州人口密度作为分析指标,利用 SPSS 26.0 将红色旅游资源点数量与人口密度进行相关性分析,结果表明, Pearson 指数为 0.823,  $p=0.001$ ,通过了显著性检验.社会因素是引起红色旅游资源数量差异的又一因素,且其与红色旅游资源点数量相关程度略高于交通,该因素强化了交通枢纽和核心文化的集聚功能,增强了红色旅游资源点之间的联动关系,产生显著的“极化”效应.

### 3.4 诱发因素

高经济发展水平是红色旅游资源规模扩张的基础.地区经济水平的繁荣能够为相关旅游服务以及基础设施的建设提供有力支撑,本文采取各地州人均 GDP 为分析指标,利用 SPSS 26.0 将红色旅游资源点数量与人均 GDP 进行相关性分析,结果显示, Pearson 指数为 0.710,  $p=0.007$ ,经济发展水平对红色旅游资源的影响介于交通交通条件以及社会因素之间,新疆红色旅游资源的数量和各地州的经济发展水平有着极高的耦合性,形成了红色旅游空间布局的“组团”型结构模式.

## 4 结论与讨论

### 4.1 结论

本文以红色旅游资源为研究对象,运用空间分析和数理统计的方法,综合测度并比较了新疆红色旅游资源空间分布特征,得出以下结论:

第一、新疆红色旅游资源表现出地区间非均衡发展差异,表现出“小集聚,大分散”的形态,形成了明显的“三核三带”的红色旅游空间结构.具体为:乌鲁木齐、石河子、克拉玛依等地区的小集聚分布以及整

个研究区域的分散分布。

第二、新疆红色旅游资源呈点状集聚特征,地区间分布不均衡。冷热点区呈现出“东北—西南”的分布格局。且热点区的辐射带动作用较强,在未来的发展中可以提升自身发展的同时带动其他地区的发展。

第三、红色旅游资源点的空间分布格局是历史文化活动、交通运输条件、经济条件以及社会因素等多种因素共同作用的结果。其中,历史文化活动的丰富性是影响新疆红色旅游资源空间分布的主导因素,交通便捷度是红色旅游资源空间分布形成的又一重要因素,由主导因素和驱动因素共同作用下形成的新疆红色旅游资源空间分布的基本格局,经由经济水平的诱发和社会因素的调节,形成了新疆红色旅游资源空间的分布格局。

## 4.2 讨论

通过 ArcGIS 空间分析发现,新疆红色旅游资源的空间分布表现出明显的区域聚集性,且新疆红色旅游资源中最具有资源禀赋的是屯垦戍边文化以及爱国主义文化。基于此,为促进新疆红色旅游发展提出以下建议:

### 4.2.1 发挥资源本底作用及涓滴效应

一方面,对于“三核”红色旅游集聚区,已经有了一定的发展红色旅游的基础,应重点建设一批拥有完善的旅游服务水平,专业的红色旅游人才,且具有一定教育意义的高标准精品红色旅游产业区。资源集聚区与周边环境是利益共生的关系,要利用核心集聚区的涓滴效应,带动周边地区红色旅游的发展,提高资源热点区的辐射范围。在次热点区,可以开发一些小规模的红色旅游产业区。另一方面,要根据实际情况,加强旅游基础设施的建设以及区位交通条件的增强,培育新的红色旅游热点区,提高区域内整体的协调能力。结合其他旅游资源开展全域旅游,将红色旅游贯穿其中,寓教于乐。

### 4.2.2 积极构建新疆红色旅游记忆符号系统

红色旅游具有神圣性,以其带给游客的体验以及旅行结束后的游客记忆为游客所赞誉<sup>[28]</sup>。新疆红色旅游记忆符号系统的主体是屯垦戍边文化品牌,是新疆红色旅游发展的内在动力之一。但是该品牌存在着品牌知名度不高、影响力较弱等一系列问题。尽管拥有着全国独一无二的屯垦文化,但是仍然没有得到很好的发展<sup>[29]</sup>。这就需要我们创新营销策略,总结其中的不足,才能使新疆红色旅游得到进一步的发展。结合现在的比较流行的网络营销等宣传手段,例如微信、抖音等平台,扩大新疆红色旅游的知名度。

### 4.2.3 建设高水平的爱国主义教育基地

新疆红色旅游中最具特色的是以爱国爱疆为核心的红色文化。新疆的爱国爱疆文化历史悠久,涉及到的文化内涵十分丰富,在全国也是独一无二的,由于新疆独特的地理位置和历史背景,形成了独树一帜的爱国爱疆文化,里面所包含的精神财富值得我们每一个人深刻领悟。例如现在我国发展迅猛的研学旅游,就可以很好地和新疆的爱国爱疆文化结合在一起,建设一批新的既具有丰富历史内涵,又具有现代气息的爱国主义教育基地,不但可以指导疆内的中小学生前来参观学习,更可以吸引疆外的学生游览参观。

### 4.2.4 整合红色旅游资源,打造精品红色旅游景区产业体系

各区域之间的红色旅游资源的分布差异是当前新疆发展红色旅游的主要矛盾,应科学统筹规划加大各区域内红色旅游资源的有效整合,发挥最大辐射带动功效,确定各地州红色旅游的战略发展方向,从而形成协调发展、各具特色的红色旅游景区。目前,新疆仅有7处入选全国经典红色旅游景区,新疆应发挥现有旅游景区的模范作用和带头作用,在保留自身优势的基础上进一步加强景区内外联动建设,带动新疆红色旅游的发展。

## 参考文献:

- [1] 文珂. 文旅融合下的安徽省红色旅游创新发展研究 [J]. 全国流通经济, 2020(13): 137-138.
- [2] 蒋励佳, 李秋正, 徐金海. 习近平关于红色旅游的重要论述与实践指引 [J/OL]. 黑龙江社会科学: 1-5[2020-08-08]. <http://kns.cnki.net/kcms/detail/23.1407.C.20200608.1610.008.html>.
- [3] JINGHUI QU. Analysis of Red Tourism Demand and Marketing Strategy in the Old Revolutionary Base Area of Liaoning Anti Japanese Federation [J]. The Frontiers of Society, Science and Technology, 2020, 2(4): 30-41.

- [4] BECHARD ANDREW. Red Tide at Morning, Tourists Take Warning? County-Level Economic Effects of HABS on Tourism Dependent Sectors [J]. Harmful algae, 2019, 85(1): 22-25.
- [5] NWITE CHUKWUEMEKA DAVISON, OKOE\RO AUSTINE, AMINU ONIMISI IBRAHIM. Research on the Promotion Strategy of Red Tourism Education Function under the Background of New Era [J]. Indian Journal of Public Health Research & Development, 2018, 1(1): 54-58.
- [6] 黄震方, 葛军莲, 储少莹. 国家战略背景下旅游资源的理论内涵与科学问题 [J]. 自然资源学报, 2020, 35(7): 1511-1524.
- [7] 周美静, 许春晓. 红色旅游共生发育水平测评指标体系构建与应用——以韶山为例 [J]. 旅游学刊, 2019, 34(9): 127-144.
- [8] 谭华云, 许春晓. 红色旅游区域利益共生空间格局及其形成机制——基于行动者网络(ANT)的分析视角 [J]. 学术论坛, 2016, 39(11): 68-73.
- [9] 张雪. 青年群体对红色旅游的需求特征与参与意愿研究——以北京市红色旅游经典景区为例 [J]. 特区经济, 2013(6): 86-89.
- [10] 杨素珍. 红色旅游彰显时代魅力文旅融合带来全新体验 [N]. 中国旅游报, 2019-04-01(3).
- [11] 陈国磊, 张春燕, 罗静, 等. 中国红色旅游经典景区空间分布格局 [J]. 干旱区资源与环境, 2018, 32(9): 196-202.
- [12] 唐健雄, 李筱蓓, 肖林. 湖南省红色旅游资源空间格局与影响因素 [J]. 湖南财政经济学院学报, 2019, 35(2): 74-82.
- [13] 许春晓, 黎巧. 长株潭红色旅游共生发展的空间特征 [J]. 旅游科学, 2015, 29(2): 14-27.
- [14] 裘晨雪. 浅析江西红色旅游资源的开发与利用 [J]. 度假旅游, 2019(2): 184; 188.
- [15] 杨倩, 吴雷. 安徽省红色旅游景点空间结构研究 [J]. 内江师范学院学报, 2019, 34(10): 101-107.
- [16] 王治涛, 袁顺全, 范文静, 等. 洛阳红色文化资源的保护和开发研究 [J]. 洛阳理工学院学报(社会科学版), 2013, 28(4): 42-47.
- [17] 李文君. 基于点-轴理论的六安地区红色旅游空间布局优化 [J]. 重庆科技学院学报(社会科学版), 2013(10): 123-126.
- [18] 谢五届, 何建民. 欧盟旅游资源空间格局及其动态演进: 1992—2016 [J]. 经济地理, 2019, 39(10): 193-203.
- [19] 周琳, 王树根, 龙晓怡, 等. 粤港澳大湾区 A 级旅游景区空间结构研究 [J]. 地理空间信息, 2020, 18(6): 9-12.
- [20] 王世金, 徐新武, 颀佳. 中国滑雪场空间格局、形成机制及其结构优化 [J]. 经济地理, 2019, 39(9): 222-231.
- [21] 周兆丁, 吕锬, 沈瑾, 等. 统计软件 SPSS 相关分析及应用 [J]. 电脑知识与技术, 2019, 15(20): 301-302.
- [22] 耿虹, 李彦群, 范在予. 农家乐发展的地域空间格局及其影响因素——基于浙江、湖北、四川的比较研究 [J]. 经济地理, 2019, 39(11): 183-193.
- [23] 李强, 章天成, 杨立国. 乡村旅游资源空间分布特征及影响因素研究——以湖南省衡阳市为例 [J]. 西南师范大学学报(自然科学版), 2019, 44(11): 36-43.
- [24] 高楠, 张新成, 王琳艳. 中国红色旅游网络关注度时空特征及影响因素 [J]. 自然资源学报, 2020, 35(5): 1068-1089.
- [25] 李莉, 侯国林, 夏四友, 等. 成都市休闲旅游资源空间分布特征及影响因素 [J]. 自然资源学报, 2020, 35(3): 683-697.
- [26] 屈婷婷, 黄智, 黄启厅, 等. 广西乡村休闲旅游示范点空间分布特征及其影响因素 [J]. 南方农业学报, 2021, 52(7): 2032-2042.
- [27] 刘敏, 郝炜. 山西省国家 A 级旅游景区空间分布影响因素研究 [J]. 地理学报, 2020, 75(4): 878-888.
- [28] 徐克帅. 红色旅游和社会记忆 [J]. 旅游学刊, 2016, 31(3): 35-42.
- [29] 阚越. 新疆“中国屯垦旅游”品牌的营销策略研究 [J]. 旅游纵览(下半月), 2019(10): 85-86.

责任编辑 胡杨